文章编号:1004-2474(2018)03-0331-03

# 用于磁控溅射膜的一种剥离技术

刘 娅,杨正兵,蒋 欣,李 磊,何西良,徐 阳

(中国电子科技集团公司第二十六研究所,重庆 400060)

摘 要:为了解决磁控溅射膜的剥离问题,该文研制了一种新型的双层胶剥离技术。通过调整双层光刻胶的 坚膜时间、坚膜温度和显影时间,制备出好的光刻胶倒梯形形貌,得到磁控溅射膜较好的剥离效果。为薄膜体声波 谐振器(FBAR)的研制提供了有意义的指导。

关键词:磁控溅射;剥离工艺;双层胶;倒梯形;薄膜体声波谐振器(FBAR)

中图分类号:TN65

文献标识码:A

**DOI**:10. 11977/j. issn. 1004-2474, 2018, 03, 006

## A Lift-off Technique for Magnetron Sputtering Film

LIU Ya, YANG Zhengbing, JIANG Xin, LI Lei, HE Xiliang, XU Yang

(The 26th Institute of China Electronics Technology Group Corporation, Chongqing 400060, China)

**Abstract:** In order to solve the problem of the lift-off of magnetron sputtering film, a bi-layer lift-off process has been researched in this paper. The good lift-off effect of magnetron sputtering film has been obtained through changing baking time, baking temperature and development time of the bi-layer photoresist and the fine photoresist pattern with T-top has been fabricated. The results provide a helpful process guideline for fabricating film bulk acoustic resonator (FBAR) devices.

Key words: magnetron sputtering; lift-off process; bi-layer glue; T-top; film bulk acoustic resonator(FBAR)

#### 0 引言

随着无线通信系统和蓝牙技术的迅速发展,工作在射频波段的通讯器件因其具有高性能、低功耗、微型化及集成化等特点越来越受人们的重视。传统的陶瓷介质谐振器和声表面波(SAW)器件由于自身的一些限制,在现代军用及商用上出现了明显缺陷。薄膜体声波谐振器(FBAR)由于体积小,品质因数(Q)值高,工作效率高,承受功率大,换能效率高,且与半导体工艺兼容等特点[141],成为一种性能优良的射频(RF)滤波器,更符合现代无线通信领域应用的苛刻要求,成为近年来此类器件研究与开发的一个热点。

通过大量研究表明,无论是金属本身性能,还是与压电层 AIN 薄膜的匹配效果,金属 Mo 是 FBAR 器件中较好的电极材料的选择<sup>[1]</sup>。由于 Mo 的熔点较高(为 2 617 °C),不能采用电子束蒸发镀膜,只能采用磁控溅射镀膜的方式来制备 Mo 薄膜。然而在FBAR 器件研制过程中,常采用湿法腐蚀<sup>[5]</sup>或干法刻蚀的方法制备金属 Mo 薄膜图形。采用湿法腐蚀

法存在腐蚀速率慢且不可控,侧壁角度较大及侧壁 粗糙等缺陷;干法刻蚀金属 Mo 时容易过刻,伤及电 极 AlN 薄膜。

本文采用双层胶剥离技术剥离磁控溅射镀 Mo 膜,通过调节烘烤温度和显影时间等工艺参数,研究 了不同工艺参数对剥离效果的影响,从而获得最佳 剥离效果的图形。

#### 1 实验

#### 1.1 实验原理

磁控溅射是在氩(Ar)放电情况下进行,则电子 e 在电场 E 作用下,在飞向基板过程中与氩原子发生碰撞,使其电离出  $Ar^+$  和一个新的电子  $e_1$ ,电子飞向基片, $Ar^+$  在电场作用下加速飞向阴极靶,并以高能量轰击靶表面,使靶材发生溅射。溅射粒子中的中性靶原子或分子沉积在基片上形成薄膜。二次电子  $e_2$  一旦离开靶面,就同时受到电场和磁场的作用。为了说明电子的运动情况,可近似认为二次电子在阴极暗区时受电场作用,进入负辉光区仅受磁场作用。从靶面发出的二次电子,首先在阴极暗区

受到电场加速飞向负辉光区。电子进入负辉光区具有一定速度,并且是垂直于磁力线运动,由于受到磁场 B 洛仑兹力的作用,而绕磁力线旋转,在旋转半圈之后,重新进入阴极暗区,受到电场减速。电子接近靶面时速度即可降为 0。以后,电子又在电场的作用下再次飞离靶面,开始一个新的运动周期。电子如此周而复始,跳跃式的朝  $E \times B^{[6]}$  所指的方向漂移,如图 1 所示。

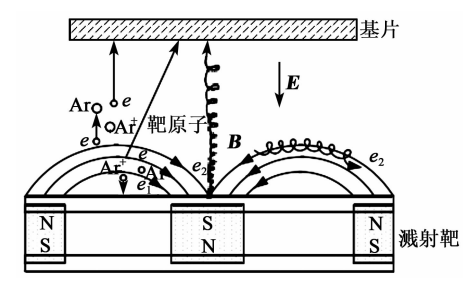


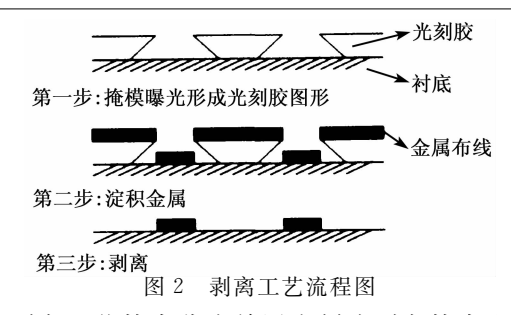
图 1 磁控溅射原理示意图

射频磁控溅射的原理是指在一定气压下,当阴、阳极之间所加交流电压的频率增高到射频频率时,即可产生稳定的射频辉光放电,以这种射频高压作用维持溅射沉积。射频辉光放电有两个重要特征:

- 1) 在辉光放电空间产生的电子获得了足够的能量,足以产生碰撞电离,因而减少了放电对二次电子的依赖,且降低了击穿电压。
- 2)由于射频电源可以在绝缘靶表面上建立起负偏压,在靶上施加射频电压后,当溅射靶处于上半周时,由于电子的质量比离子的质量小,故其迁移率很高,仅用很短的时间就可飞向靶面,中和其表面积累的正电荷,从而实现对绝缘材料的溅射。

由于射频放电频率高,这使得外加电压的变化 周期小于电离和消电离所需的时间,等离子体浓度 来不及变化。又由于电子质量小,容易跟随外电场 从射频场中吸收能量,并在场内作振荡运动。但电 子在放电空间的运动并不是简单地从一个电极到另 一个电极,而是在放电空间不断地来回运动,增加了 与气体分子的碰撞几率。因此,射频磁控溅射方式 镀膜电子的运动是无方向性的。

剥离技术是在衬底上涂上光刻胶,并通过掩模曝光和显影制成倒梯形(即倒"T"形),要求对不需要金属膜的区域覆有光刻胶。然后在其上淀积金属膜,这样金属膜仅在需要它的区域与衬底相接触。最后用不侵蚀金属膜的溶剂除去光刻胶。随着光刻胶的去除,胶上的金属被剥离,而留下了制成图形的金属布线,流程如图 2 所示。



剥离工艺技术分为单层光刻胶剥离技术和多层 光刻胶剥离技术。多层光刻胶剥离技术必须采用多 种光源的光刻胶,使用常规工艺和设备难以实现。 双层胶剥离比单层胶剥离多涂了一层光刻胶,主要 是通过对底层胶的柔性烘烤和对上层胶的选择性曝 光,然后在显影液中显影,即可得到适合于剥离的具 有暗刻蚀侧剖面的掩膜图形(即倒"T"形)。在该剥 离法中,形成图形的关键在于上层胶,因为它确定了 金属图形的尺寸;底层胶显影尺寸略大干上层胶,底 层胶和上层胶的尺寸差可通过调整显影时间来控 制,同时提供了掩膜层和金属层之间的厚度差,因而 可消除金属台阶覆盖,使掩膜上的金属层与基片接 触的金属层分离,确保顺利剥离。剥离工艺的关键 在于光刻胶的形貌(即倒"T"形),而双层胶具有很 好的倒"T"形光刻胶形貌(见图 3),更有利于磁控溅 射镀膜的剥离。

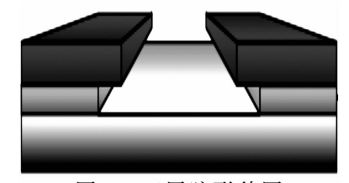


图 3 双层胶形貌图

#### 1.2 实验方案

采用 TEGAL 公司生产的 Endeavor 磁控溅射 镀膜设备镀 Mo 膜 500 nm,涂胶显影采用 SUSS 公司生产 ACS200 涂胶显影系统,曝光采用 ASML 公司生产的 Stepper 100D 及 SSEC 公司生产的剥离机 M3303 进行剥离。为了获得满意的剥离效果,研究了烘烤温度和显影时间对光刻胶的形貌和剥离效果的影响,具体方案如表 1 所示。

表1 实验方案

样品	烘烤	显影	样品	烘烤	显影
	温度/℃	时间/min		温度/℃	时间/min
1	190	2.0	6	200	3.0
2	190	2.5	7	210	2.0
3	190	3.0	8	210	2.5
4	200	2.0	9	210	3.0
5	200	2.5			

### 2 结果及讨论

图 4 为不同显影时间对光刻胶形貌的影响。由 图可看出,当烘烤温度和曝光量一定时,随着显影时 间的增加,上层胶的尺寸几乎无变化;底层胶的尺寸 逐渐减小,因为显影时间增加,底层胶会溶解得更多, 故底层胶和上层胶的尺寸差逐渐增大,有利于剥离。

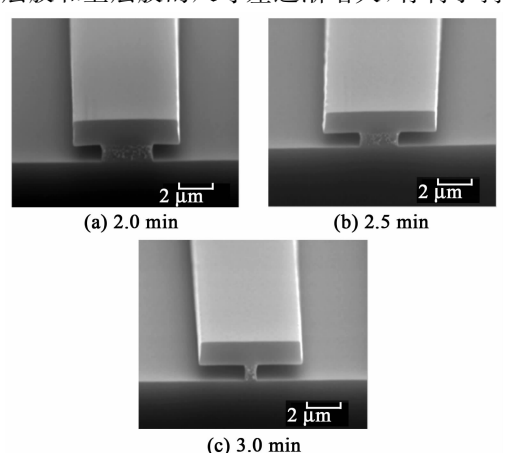


图 4 不同显影时间光刻胶的 SEM 图

图 5 为不同烘烤温度对光刻胶形貌的影响。由图可看出,当显影时间和曝光量一定时,随着烘烤温度的增加,底层胶和上层胶的尺寸差逐渐减小。这是因为烘烤温度越高,光刻胶中溶剂含量越少,显影时溶解速度就越慢。烘烤温度过低或过高都会影响光刻胶的粘附性,故需选择适宜的烘烤温度。

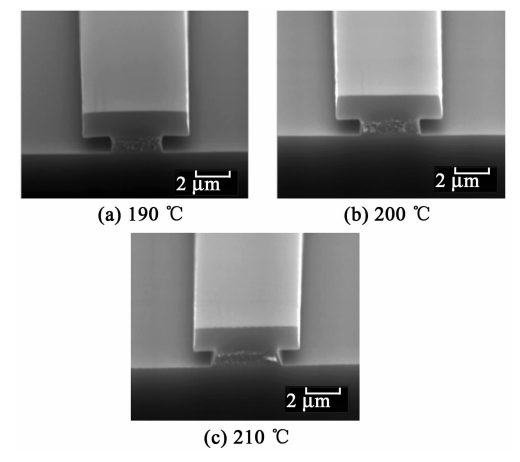
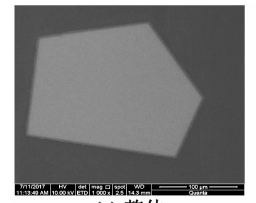
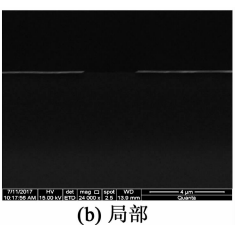


图 5 不同烘烤温度光刻胶的 SEM 图

图 6 为烘烤 210 ℃,显影 2 min 的剥离效果图。由图可看出,大部分已剥离干净,但在图形的边缘有金属膜残留;由于烘烤温度较高,光刻胶中溶剂含量较少,显影速度较慢,且显影时间较短,使底层胶和上层胶的差值较小(见图 5(c)),磁控溅射镀膜时无方向性,会有一部分膜和底层胶相连(见图 7),导致图形边缘有残留。





(a) 整体

图 6 烘烤 210 ℃,显影 2 min 的剥离效果图

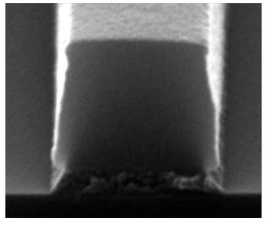


图 7 镀膜后的效果图

图 8 为烘烤 190 ℃,显影 3 min 的剥离效果图。由图可看出,剥离效果较好,图形边缘无残留的金属膜。由于烘烤的温度较低,光刻胶中含有一定量的溶剂,显影的速度较快,且显影时间较长,使底层胶和上层胶的差值较大(见图 4(c)),磁控溅射镀膜时,即使镀膜无方向性,但也未与底层胶相连(见图9),容易剥离且剥离效果很好。

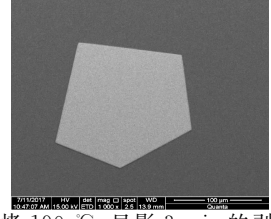


图 8 烘烤 190 ℃, 显影 3 min 的剥离效果图

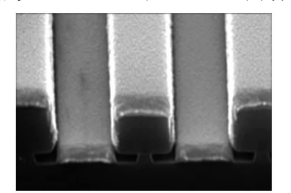


图 9 镀膜后的效果图

## 3 结束语

采用双层胶剥离的工艺研究了不同的坚膜时间、 坚膜温度和显影时间对光刻胶形貌的影响,进而对磁 控溅射镀膜的剥离效果进行了研究。结果显示,合适 的烘烤温度和显影时间可制作出有利于剥离磁控溅 射膜的光刻胶图形,且能得到良好的剥离效果。

#### 参考文献:

[1] LEUNG C S, HAO Weida. Piezoelectric sensors for monitoring airport surface movement-A sustainable airport ground traffic management system [C]//Austria: IEEE Forum on Integrated and Sustainable Transportation Systems Vienna, 2011:339-343.

(下转第336页)